

ある。之等には回路の電流平衡を取る急ボテンショーメーター法を採用してゐる。従つて電源其の他の多少の変化の爲に平衡は破れ振動の如き測定に用ひられるが構造物の如く比較的徐々に応力を受けるものゝ測定には適しない。殊に橋梁等野外の諸種の状態の変化を伴ふ測定の実施に當つては多大の困難を伴ふ。

2鉄筋肋拱橋の応力計算に就て

(昭和13年7月17日 土木学会第2回年次学術講演會に於て)

会員 北澤忠男*

要旨 土木学会第1回年次学術講演會に於て「鉄筋コンクリート無鉄筋の計算方法に就て」なる論文を提出して、(1) 計算を出来るだけ簡単にする事、(2) 1つの拱に就て計算した結果を成可く廣く他の拱に對しても應用し得る様にする事、(3) 理論の示す所に従つて計算を正確にする事、なる3ヶ條に重點を置いて鉄筋コンクリート無鉄筋の応力計算に就て研究した結果を發表したのであるが、今回提出する論文も亦全く同一趣意に基きて2鉄筋肋拱橋の応力計算方法を研究したものである。無鉄筋肋拱橋としては主として鉄筋コンクリート肋が實用せられて居る様であるが、2鉄筋肋に於ては寧ろ鉄筋肋及び構筋肋が多く用ひられて居るから此の論文に於ては後の2者に就て研究した結果を發表するのである。但し鉄筋コンクリート肋は必ず無鉄筋であつても亦2鉄筋肋でも別に變る所は無いと思ふから第1回年次学術講演會に於て發表した事を其の儘用ふればよいと考へる。2鉄筋肋拱の拱軸曲線の形としては勿論種々なる曲線が用ひ得るものであるが實用上から見て著者は Parabola と Circle の2つを選定した。(1) 及 (2) の目的を實現する爲拱曲線の方程式、拱環の厚さ、拱環横断面積及断面2次率等は全部拱の支間 l に由りて表はし得る如く工夫し、拱環の内面曲線及外面曲線は拱軸曲線と同一種類の曲線を用ひる事とした。(3) の目的で對しては $I \cos \varphi$ 及 $A \cos \varphi$ は一定に非ずして変化するものとした事は勿論、軸圧力に依る拱環圧縮の影響並に拱環横断面に平行に作用する剪力の影響を考慮し、是等が拱に生ずる応力に對し如何なる割合のものとなるかを求むる事とした。

1. 拱軸曲線

2鉄筋肋拱の拱軸曲線として拱頂 C に對し全く對稱の形を持つ所の Parabola 及 Circle の2つを考へる。原點を拱の左端 A に置き曲線の任意點の縦距 y 並に $\tan \varphi$ (φ は拱の任意點の横断面が垂直線となす角) を次の如く定める。

(a) Parabola (図-1 参照)

$$y = \frac{f}{l} \times \frac{x}{l}(l-x), \quad \frac{f}{l} = m, \quad \frac{x}{l} = k$$

$$\therefore y = 4mk(l-k)l = \gamma l \quad \dots \dots \dots \quad (a_1)$$

$$\text{但 } \gamma = 4mk(l-k)$$

$$\tan \varphi = \frac{f}{l} \left(1 - 2\frac{x}{l} \right) = 4m(l-2k) \quad \dots \dots \dots \quad (a_2)$$

(b) Circle (図-2 参照)

$$R = \text{円の半径} = \frac{(l/2)^2 + f^2}{2f} = \frac{1+4m^2}{8m}l = nl$$

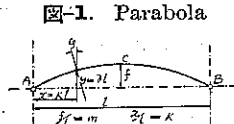
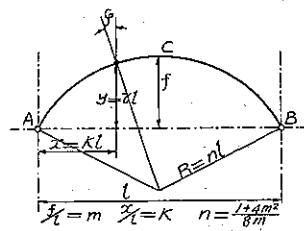


図-1. Parabola



* 工学士 名古屋高等工業学校教授

$$\text{但し } n = \frac{1+4m^2}{8m} \quad m = \frac{f}{l}$$

$$y = f - R + \sqrt{R^2 - (l/2 - x)^2} = \left[(m - n) + \sqrt{n^2 - \left(\frac{1}{2} - k\right)^2} \right] l = \left[m' + \sqrt{n^2 - (k')^2} \right] l = \gamma \cdot l \quad \dots \dots \dots (b_1)$$

$$\text{但し } k' = \frac{1}{2} - k, \quad m' = m - n$$

$$\tan \varphi = \frac{l/2 - x}{\sqrt{R^2 - (l/2 - x)^2}} = \frac{k'}{\sqrt{n^2 - (k')^2}} \quad \dots \dots \dots (b_2)$$

(a₂) 及 (b₂) を以て表はす $\tan \varphi$ の値は A~C 間は正、C~B 間は負である。

2. 拱肋の形状及拱環の高さ

拱肋の外觀は其の内面曲線と外面曲線の形狀に依りて定められ、夫に從つて拱軸曲線も定まるものであるが、是等の3つの曲線は必ずしも同一種類のものとはならないのであるが、著者は同一種類のものとして研究を進める。尙又拱肋横断面は上下、左右共に全く對稱の形を具へて居り、從つて其の重心は横断面の對稱軸の交點に位し、故に拱軸は拱肋の高さの $1/2$ の點を通るものとする。

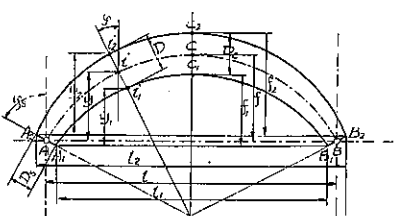
2 鋼筋拱橋に使用せらるゝ拱肋の形としては拱端から拱頂に至るまで其の横断面の高さが均一である場合が多い。此の條件に於て拱軸が Circle であるならば内面曲線及外面曲線は共に拱軸曲線と同心円となるのであるが、拱軸が Parabola であると外面曲線と内面曲線とがやはり Parabola であるとする事は理論上正確であるとは云ひ得ないが拱環の高さが支間の $1/30 \sim 1/40$ の程度であり、且つ $m = f/l$ が 0.3 以下の程度であるならば是等兩曲線は Parabola と極めてよく一致する、故に既に述べた通り 3 つの曲線は同一種類の曲線であるとして差支無きものと思はれる。

2 鋼筋拱に於ては屢々拱環の高さを拱端から拱頂に向つて漸次増加する事がある、之は勿論拱環に生ずる応力の変化に伴つて行ふべきであり、從つて拱肋を 經済的に設計する立場から見れば重要な問題ではあるが、著者現在の研究は此の問題には觸れないで只拱環の高さが漸次変化する様な拱肋の応力を如何にして計算すべきかに就て考慮するのである。拱環の高さを漸次変化せしめる方法は種々あるとは思ふが著者は拱端の高さ D_s と拱頂の高さ D_e を與へ、内面曲線と外面曲線が拱軸曲線と同一種類の曲線である様にして拱肋の外觀を整へ、從つて高さ D は拱端から拱頂に向つて漸次変化する様に定めんとするものであつて具

体的に云へば次の如くである。図-3 に示す如く先づ拱軸曲線の支間 l 及其の拱矢 f を與へて拱端 A, B 及拱頂 C を通る如く拱軸曲線を定め、次に A_1, A_2, B_1, B_2 及 C_1, C_2 なる直線を拱軸曲線に直角に引き且 $\overline{AA_1} = \overline{AA_2} = \frac{1}{2} D_s$, $\overline{BB_1} = \overline{BB_2} = \frac{1}{2} D_s$ 及 $\overline{CC_1} = \overline{CC_2} = \frac{1}{2} D_e$ となるが如くに $A_1, A_2, B_1, B_2, C_1, C_2$ なる點をきめる、但し D_s は拱端、 D_e は拱頂に於ける拱環の高さである。次に A_1, C_1, B_1 の 3 點を通して内面曲線を又 A_2, C_2, B_2 なる 3 點を通して外面曲線を畫く但し是等は拱軸曲線と同一種類の曲線である。斯くして作られた拱肋の任意點の高さ D は拱軸に對して直角の方向に直線 i_1, i_2 を引き夫が内面曲線及外面曲線と交る點を夫々 i_1 及 i_2 とすれば、此の i_1, i_2 間の距離が D であるから

$$D = (y_2 + D_s \cos \varphi_d - y_1) \sec \varphi \quad \dots \dots \dots (c)$$

図-3.



なる式を以て拱環の高さを表はす事が出来る。 y_1 は A_1 を原點とする内面曲線の水平軸 A_1B_1 から計つた i_1 の継距であり又 y_2 は A_2 を原點とする外面曲線の水平軸 A_2B_2 から計つた i_2 の継距である。而して D の實際の値を求めるには y_1 及 y_2 を知る事を要し、夫が爲には各曲線の原點からの横距たる x_1 及 x_2 を定める事が必要である。拱頂及拱端に於ける拱環の高さを夫々 $D_c = \alpha c l$, $D_s = \alpha s l$ の如く拱軸曲線の径間 l で表はせば図-3 に依り

$$l_1 = \text{内面曲線の径間} = l - D_s \sin \varphi_A = (1 - \alpha s \sin \varphi_A) \times l = a_1 \times l$$

$$l_2 = \text{外面曲線の径間} = l + D_s \sin \varphi_A = (1 + \alpha s \sin \varphi_A) \times l = a_2 \times l$$

$$f_1 = \text{内面曲線の拱矢} = f - \frac{1}{2} D_c + \frac{1}{2} D_s \cos \varphi_A = \left(m - \frac{1}{2} \alpha c + \frac{1}{2} \alpha s \cos \varphi_A \right) \times l = b_1 \times l$$

$$f_2 = \text{外面曲線の拱矢} = f + \frac{1}{2} D_c - \frac{1}{2} D_s \cos \varphi_A = \left(m + \frac{1}{2} \alpha c - \frac{1}{2} \alpha s \cos \varphi_A \right) \times l = b_2 \times l$$

であるから $m_1 = f_1/l_1 = b_1/a_1$, $m_2 = f_2/l_2 = b_2/a_2$ となる。図-4 に依り拱軸曲線上の與へ

られたる點 i の $\tan \varphi$ を式で表はせば

$$\tan \varphi = \frac{x_1 + \frac{1}{2} D_s \sin \varphi_A - x}{y + \frac{1}{2} D_s \cos \varphi_A - y_1} = \frac{x + \frac{1}{2} D_s \sin \varphi_A - x_2}{y_2 + \frac{1}{2} D_s \cos \varphi_A - y}$$

であり y_1 は x_1 の函数、又 y_2 は x_2 の函数であるから此の 2 つの方程式に依りて x_1 及 x_2 の値を求むる事が出来るわけである。

1. Parabola

拱軸曲線が parabola である場合には内面曲線も外面曲線も共に parabola であるとせば

$$x = kl, \quad y = 4mk(1-k)l = \gamma l, \quad D_s = \alpha s l, \quad x_1 = k_1 l_1 = k_1 a_1 l$$

$$x_2 = k_2 l_2 = k_2 a_2 l, \quad m_1 = b_1/a_1, \quad m_2 = b_2/a_2$$

$$\therefore y_1 = 4m_1 k_1 (1 - k_1) l_1 = 4m_1 k_1 (1 - k_1) a_1 l = 4b_1 (k_1 - k_1^2) l$$

$$y_2 = 4m_2 k_2 (1 - k_2) l_2 = 4m_2 k_2 (1 - k_2) a_2 l = 4b_2 (k_2 - k_2^2) l$$

となり之を $\tan \varphi$ の式に代入すれば

$$\tan \varphi = \frac{k_1 a_1 + \frac{1}{2} \alpha s \sin \varphi_A - k}{\gamma + \frac{1}{2} \alpha s \cos \varphi_A - 4b_1 (k_1 - k_1^2)}$$

$$4b_1 \tan \varphi k_1^2 - (4b_1 \tan \varphi + a_1) k_1 + \left[k - \frac{1}{2} \alpha s \sin \varphi_A + \left(\gamma + \frac{1}{2} \alpha s \cos \varphi_A \right) \tan \varphi \right] = 0 \quad \dots \dots (d_1)$$

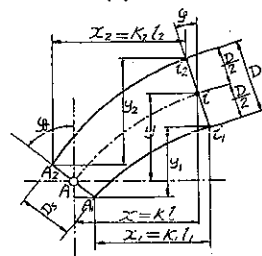
$$\tan \varphi = \frac{k + \frac{1}{2} \alpha s \sin \varphi_A - k_2 a_2}{4b_2 (k_2 - k_2^2) + \frac{1}{2} \alpha s \cos \varphi_A - \gamma}$$

$$4b_2 \tan \varphi k_2^2 - (4b_2 \tan \varphi + a_2) k_2 + \left[k + \frac{1}{2} \alpha s \sin \varphi_A + \left(\gamma - \frac{1}{2} \alpha s \cos \varphi_A \right) \tan \varphi \right] = 0 \quad \dots \dots (d_2)$$

是等の 2 つの式から k_1 及 k_2 を定める事が出来、夫に依りて y_1 及 y_2 の値が求まるから (c) の式に依り D を見出す事が出来る。

2. Circle

拱軸曲線が circle である場合には内面曲線及外面曲線も共に circle であるとすれば夫等の継距 y_1 及 y_2 は y



と同様に表はす事が出来る。即ち

$$y = \left[(m-n) + \sqrt{n^2 - \left(\frac{1}{2} - k\right)^2} \right] l = \left[m' + \sqrt{n^2 - (k')^2} \right] l = \gamma l$$

$$y_1 = \left[(m_1 - n_1) + \sqrt{n_1^2 - \left(\frac{1}{2} - k_1\right)^2} \right] l_1 = \left[m_1' + \sqrt{n_1^2 - (k_1')^2} \right] a_1 l$$

$$y_2 = \left[(m_2 - n_2) + \sqrt{n_2^2 - \left(\frac{1}{2} - k_2\right)^2} \right] l_2 = \left[m_2' + \sqrt{n_2^2 - (k_2')^2} \right] a_2 l$$

$$\tan \varphi = \frac{k_1 a_1 + \frac{1}{2} \alpha_s \sin \varphi_A - k}{\gamma + \frac{1}{2} \alpha_s \cos \varphi_A - \left[m_1' + \sqrt{n_1^2 - (k_1')^2} \right] a_1}$$

$$\therefore a_1^2 (1 + \tan^2 \varphi) k_1^2 - (a_1^2 \tan^2 \varphi + 2a_1 c_1) k_1 + \left(\frac{1}{4} a_1^2 \tan^2 \varphi - a_1^2 n_1^2 \tan^2 \varphi + c_1^2 \right) = 0 \quad \dots \dots \dots (d_3)$$

$$\text{但し } c_1 = \left[\left\{ -m_1' a_1 + \left(\gamma + \frac{1}{2} \alpha_s \cos \varphi_A \right) \right\} \tan \varphi - \frac{1}{2} \alpha_s \sin \varphi_A + k \right]$$

$$\tan \varphi = \frac{k + \frac{1}{2} \alpha_s \sin \varphi_A - k_2 a_2}{\left[m_2' + \sqrt{n_2^2 - (k_2')^2} \right] a_2 + \frac{1}{2} \alpha_s \cos \varphi_A - \gamma}$$

$$\therefore a_2^2 (1 + \tan^2 \varphi) k_2^2 - (a_2^2 \tan^2 \varphi + 2a_2 c_2) k_2 + \left(\frac{1}{4} a_2^2 \tan^2 \varphi - a_2^2 n_2^2 \tan^2 \varphi + c_2^2 \right) = 0 \quad \dots \dots \dots (d_4)$$

$$\text{但し } c_2 = \left[\left\{ -m_2' a_2 + \left(\gamma - \frac{1}{2} \alpha_s \cos \varphi_A \right) \right\} \tan \varphi + \frac{1}{2} \alpha_s \sin \varphi_A + k \right]$$

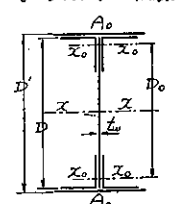
(d₃) 及 (d₄) を 2 次方程式として解きて k_1 及 k_2 を求め、夫によりて綫距 y_1 及 y_2 を計算し、夫等を (c) 式にあてはめて與へられたる點の拱環の高さ D を決定する。

3. 拱肋横断面積及其の 2 次率

1. 鋼 拱 肋

鋼拱肋は 図-5 に示す如く突縁及腹板より成るものであり、突縁は 4 個の山形鋼と蓋板から成立つ事が普通であるけれども、蓋板の数は拱肋の全長を通じて一定とは限らず、又上突縁と下突縁とに於て 其の数を異にする事がある。故に拱肋の高さを定めるのに其の全高 D' を以てする事は不適當であるから、蓋板を取除ける部分の高さ即ち上下突縁山形鋼の水平脚の外側から外側に至る距離 D を以て拱肋の高さとする、更に換言すれば下突縁山形鋼の水平脚の下面が拱肋の内面曲線を形作り、上突縁山形鋼の水平脚の上面が拱肋の外側曲線を形成するものと定めるのである。腹板の高さは D より極端に小ならしむる必要があるけれども D に等しきものとして計算しても差支無き程度である、又上下の突縁横断面積は實際には異なる場合もあるけれども、問題の複雑化を避ける爲其の形も面積も全く相等しきものとする。之に由り拱肋横断面は上下、左右共に對稱の形となり、其の重心は腹板の中央に位する事になる。上下突縁の横断面積を各々 A_0 とし、其の各々の重心間の距離を D_0 とし腹板の厚さを t_w とせば

$$A = \text{拱肋横断面積} = 2A_0 + t_w \times D$$



$$I = \text{水平軸に対する横断面 2 次率} = 2 \left[I_0 + A_0 \left(\frac{D_0}{2} \right)^2 \right] + \frac{1}{12} t_w D^3$$

腹板の横断面積 $t_w \times D$ を A_w とし、拱肋の高さ D を拱軸曲線の径間 l で表はせば $D=\alpha l$ と置く事が出来、 I_0 は極めて小であるから之を省略し、又 D_0 は蓋板を有する鉄アーチ肋に於ては D と大差が無いから假に $D_0=D$ として A 及 I を求めると

$$A = 2A_0 + A_w = A_w \left[2 \frac{A_0}{A_{w0}} + 1 \right] = t_w D \left[2 \frac{A_0}{A_w} + 1 \right] = t_w \alpha l \times \mu_1 \quad \dots \dots \dots \dots \quad (e_1)$$

$$I = \frac{1}{2} A_0 D^2 + \frac{1}{12} A_w D^3 = D^2 \left[\frac{1}{2} \frac{A_0}{A_w} + \frac{1}{12} A_w \right] = A_w D^2 \left[\frac{1}{2} \frac{A_0}{A_w} + \frac{1}{12} \right]$$

$$= t_w D^3 \left[\frac{1}{2} \frac{A_0}{A_w} + \frac{1}{12} \right] = t_w \alpha l^3 \times \mu_2 \quad \dots \dots \dots \dots \quad (e_2)$$

$$\text{但し } \mu_1 = \left[2 \frac{A_0}{A_w} + 1 \right], \quad \mu_2 = \left[\frac{1}{2} \frac{A_0}{A_w} + \frac{1}{12} \right]$$

μ_1 及 μ_2 の値は A_0/A_w の比に依りて支配せらるゝものであり、之を検討する爲に多くの實際の鉄アーチ肋横断面を系統的に取りて A_0/A_w を求め、夫から μ_1 及 μ_2 の値を算出して見た。但し I に就きては $D_0=D$ として (e₁) 式を作つたのであるから A_0 及 A_w の實際の値を其の體用ひて μ_2 を計算すると $t_w D^3 \times \mu_2$ は實際横断面の 2 次率に等しくならぬから之を修正する爲 A_0'/A_w' なる比を考へ

$$A_w D^2 \left[\frac{1}{2} \left(\frac{A_0'}{A_w'} \right) + \frac{1}{12} \right] = I \quad \therefore \frac{A_0'}{A_w'} = \frac{2I}{A_w D^2} - \frac{1}{6}$$

$$\therefore \mu_2 = \left[\frac{1}{2} \left(\frac{A_0'}{A_w'} \right) + \frac{1}{12} \right] = \left[\frac{1}{2} \left(\frac{2I}{A_w D^2} - \frac{1}{6} \right) + \frac{1}{12} \right] = \frac{I}{A_w D^2}$$

に依りて μ_2 を定むる事とした。斯く A 及 I とを (e₁) 及 (e₂) の如く表はす事に依りて著者の提倡する目的が達せられる事になる、即ち t_w は拱肋の全長を通じて一定であり、又 l は拱軸曲線の径間を示す一定數であるから 2 級アーチの不静定條件たる水平反力 H を求むる爲の各種積分から取除く事が出来、從つて夫等積分の中には A は $\alpha \mu_1$ なる形として、又 I は $\alpha^3 \mu_2$ なる形に於て取入れられ、是に依りて積分を可能ならしめ、若しくは容易ならしむる事が出来る。又 H の値の中には径間 l の實際數値を含まずして $f/l=m$ なる比の形に於て含まれて居るのであるから、径間及拱矢の實際の値の如何に關せず其の比 m が同じであるならば H も亦同じになるから、1 つの拱橋に就きて計算せられたる H の値を他の幾多の拱に對して利用する事が可能となる。

多くの鉄アーチ横断面に就き μ_1 及 μ_2 の値を實際に計算した結果は図-7 及図-8 に示す如くで兩者共に拱肋高が小なる程大であり、又突緣横断面積を増すに従つて大となる。 μ_1 及 μ_2 の曲線は図-6. 複鉄アーチ横断面示する通り極めて整然たる形をなして居るから、図示する以外の横断面の μ_1 及 μ_2 を補插法に依りて相當正確に決定する事が出来る。

鉄アーチ横断面の形として 図-6 に示す如く 2 枚の複鉄を用ひる事が屢々ある、是は水平軸のみに就て見れば 図-5 の腹板の厚さが 2 倍になつた場合と同一であり、故に其の μ_1 及 μ_2 の値は 図-5 の横断面と同様に求める事が出来、其の結果は 図-9 に之を示す。

2. 橋拱肋

構拱肋に就きては 図-10 (a) 及 (b) の如き 2 つの形が考へられるのであるが、図-

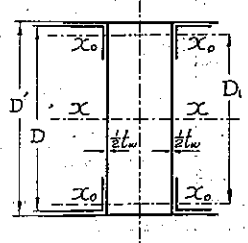


図-7. 鋼拱肋横断面 μ_1 曲線
 $A = \text{鋼拱肋横断面積} = \mu_1 \times t_w \alpha l$

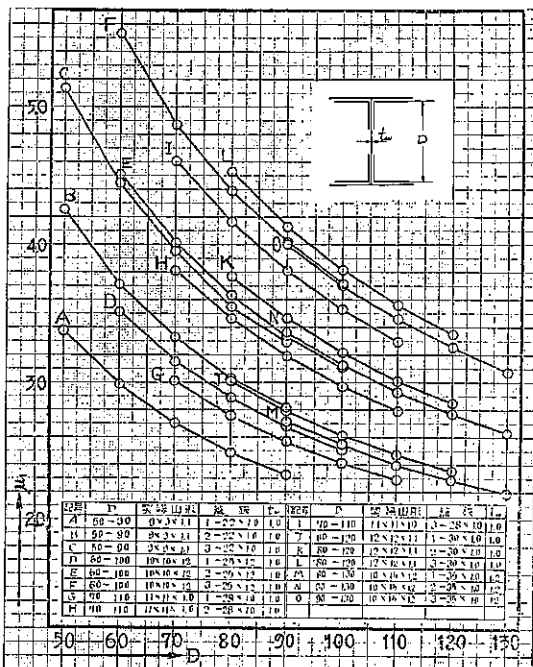


図-9. 複板拱肋 μ_1 及 μ_2 曲線
 $A = \mu_1 \times t_w \alpha l, I = \mu_2 \times t_w \alpha^3 l^3$

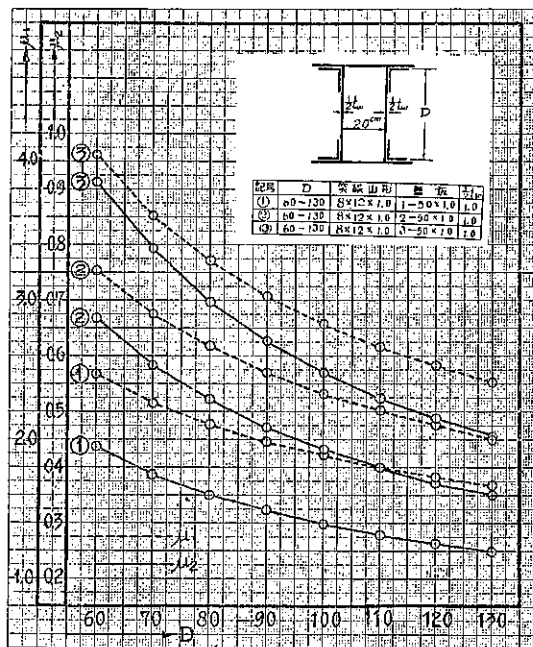


図-8. 鋼拱肋横断面 μ_2 曲線
 $I = \text{鋼拱肋横断面 2 次率} = \mu_2 \times t_w \alpha^3 l^3$

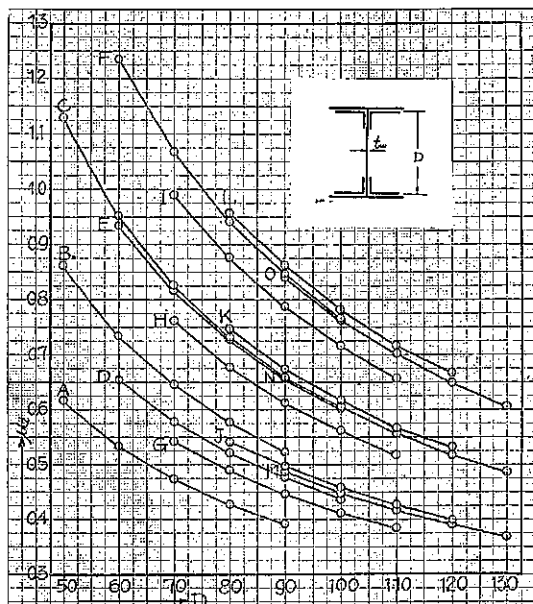
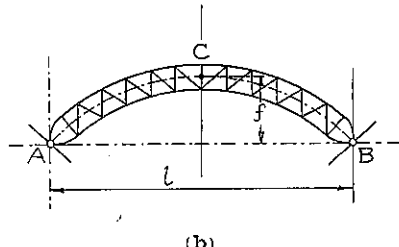
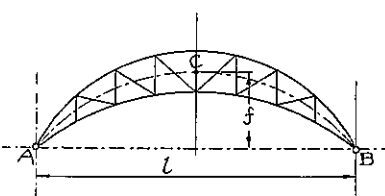


図-10 (a).



(a).



(b).

10 (b) は寧ろ結構拱橋として取扱はるべきものであり故に此處では除外する事とし又 図-10 (a) の場合は上下の弦材は全く平行するか又は極めて平行に近きものであり、且つ拱肋高 D は径間に比して甚小であり、從つて拱肋の全仕事量に對する腹材の影響は之を省略しても差支無き程度のものであるとして研究を進める。図-11 に依り構拱肋の横断面積及其の 2 次率は次の如く表はす。

$$A = 2A_0, \quad I = 2 \left[I_0 + A_0 \left(\frac{D_0}{2} \right)^2 \right]$$

但し A_0 は弦材の横断面積で上下全く同一であるとする, I_0 は弦材横断面の主軸に對する 2 次率で一般に省略して差支無き程度であるから $I = \frac{1}{2} A_0 D_0^2$ となる, A_0 は拱の全長を通じて一定であるとは云へないが, 然し之を大なる範囲に変化せしむる事も實際問題として困難であるから複雑化を避くる爲に A_0 は拱の径間の全長を通じて一定であるとする, 又 D_0 は上下弦材の横断面の重心間の距離であつて弦の横断面の形が與へられなければ之を定め難き關係にあるけれども, 若し $D_0 = D$ とすれば即ち弦材の重心軸線が拱肋の内面曲線及外面曲線と一致するものとすれば $I = \frac{1}{2} A_0 D^2 = \frac{1}{2} A_0 \alpha^2 l^2$ となり飯拱肋の場合と同様 H の式の各種積分から A_0 と l を除外する事が出来、前同様の目的を達する事が可能である。

3. 鉄筋コンクリート拱肋

高さ D , 幅 B なる矩形横断面を有する鉄筋コンクリート拱肋の取扱に就ては、第 1 回年次学術講演會に於て詳細に報告して居るから此處では省略して只其の結果のみを擧ぐれば

$$A = \mu_1 BD = \mu_1 B \alpha l \quad \mu_1 = 1.12 \sim 1.13$$

$$I = \mu_2 BD^3 = \mu_2 B \alpha^3 l^3 \quad \mu_2 = 0.103 \sim 0.104$$

であつて横断面の上下に配置せられる鉄筋横断面積は相等しく且つ對稱的である。上下の何れか一方の鉄筋横断面積の拱肋横断面積に對する割合は 0.006~0.007 の程度であり、又 $n = E_s/E_c$ の比は 10~11 の範囲である。

4. 剪断力に対する係数

剪断力を 2 鉄筋の計算に對し考慮に入れる場合には其の仕事量は T : 剪断力, G : 刚性係数, β : 剪断歪の係數とすれば

$$W_s = \frac{1}{2} \int \frac{\beta T^2 dx}{GA \cos \varphi}$$

なる形としてはいる事になるのであるが、此の中 G は單獨に取扱はれずして E/G として關係するから $E/G = 2.1 + 1/m$ に依りて之を定める事が出来る、但し $1/m$ は Poisson 比であるから

$$\text{鋼材: } E/G = 2.5 \quad \text{コンクリート: } E/G = 2.3$$

の程度とする事が出来る。 β なる係數は拱肋横断面の形に依りて左右せらるゝものであるから、拱肋高が拱端から拱頂に向つて変化する場合には β も亦変化するけれども、 β の変化は極めて僅かであるから拱肋高があまり大なる変化をなさざる限り β は拱の全長を通じて一定であるとして差支無きものと思はれる。今飯拱肋、構拱肋及鉄筋コンクリート拱肋に就て β の値を次の如く定める。

1. 飯拱肋横断面の β

D =拱肋高(腹飯高), t_w =腹鉄厚, A_0 =突緣横断面積, $A_w=t_w D$ =腹鉄横断面積, A =拱肋横断面積= $2A_0+A_w$, I =横断面 2 次率= $\frac{1}{2} D^3 [A_0 + \frac{1}{6} A_w]$, Q =拱肋横断面の中立軸に對し腹鉄の y なる點より突緣に至るまでの断面率= $\frac{1}{2} A_0 D + \frac{1}{8} (D^3 - 4y^2) t_w$, T =剪断力

とせば

$$\tau = \text{単位剪断力} = \frac{T \times Q}{t_w \times I} = \frac{T}{A_0 + \frac{1}{6} A_w} \left[\left(\frac{1}{4} + \frac{A_0}{A_w} \right) - \frac{y^2}{D^2} \right]$$

図-11. 橫拱肋横断図

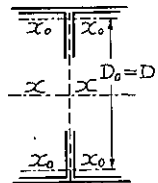
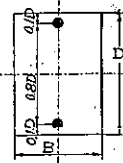


図-12. 鉄筋コンクリート拱肋横断図



$$\beta = \text{剪断歪の係数} = 2\frac{A}{T^2} \int_0^{\frac{D}{2}} r^2 \alpha A = \frac{2A}{\left(A_0 + \frac{1}{6}A_w\right)^2} \int_0^{\frac{D}{2}} \left[\left(\frac{1}{4} + \frac{A_0}{A_w}\right) - \frac{y^2}{D^2} \right]^2 t_w dy$$

$$= \frac{1 + 2\frac{A_0}{A_w}}{\left(\frac{1}{6} + \frac{A_0}{A_w}\right)^2} \left[\left(\frac{1}{4} + \frac{A_0}{A_w}\right)^2 - \frac{1}{6} \left(\frac{1}{4} + \frac{A_0}{A_w}\right) + \frac{1}{80} \right] \dots \dots \dots \quad (f)$$

此の β 値は A_0/A_w が増すに従つて大となる。即ち腹板に比し突縁横断面積が大となるに従ひ β は大となるのであるが大体に於て 2.5~3.0 の範囲である。

2. 構 拱 肋

上下の弦材が全く平行するか、若しくは平行に近き形を有する構拱肋に於ては剪断力 T は腹材が全部之を引受ける事になり、而して構肋の全仕事量を考へる時に腹材の影響を無視する方針を取るならば結局構拱肋に於ては剪断力を全く省略すると云ふ事になるから従つて β を考慮する必要が無い。

3. 鉄筋コンクリート拱肋の β

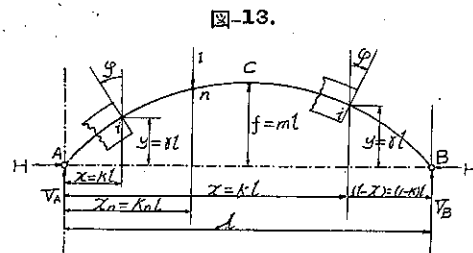
水平軸に對し對稱の形を有する矩形の鉄筋コンクリート拱肋横断面の β の値は第 1 回年次学術講演會に於て報告した通り鉄筋横断面積をコンクリートの當價面積に換算してコンクリートのみの I 字形横断面と考へて β の値を計算する事が出來、其の結果としては β は 1.34~1.40 の程度である。

以上の如く E/G 及 β の値を決定するものとせば剪断力 T に依る仕事量を定める事が出來、夫に依りて拱の水平反力 H の計算に於て剪断力の影響を取り入れることが出来る。

5. 不靜定條件 H の計算

對稱の形を有する 2 鋼拱の不靜定條件としては拱端に於ける水平反力 H を取るのが普通の方法であるから著者も H を以て不靜定條件とする。拱橋の応力計算に於ては H の實際の値を直接に求むる事よりも H の影響線を作る事が肝要であるから以下取扱ふ所はすべて如何にして H の影響線を求むべきかに集中するものである。

図-13 に於て拱軸曲線の左端 A を原點として縱軸及横軸を定め横軸 $A \sim B$ から拱頂 C に至る距離即ち拱矢を f とし、徑間 l に對する f の比を m とする、又拱軸上の任意點 i の横距を $x=kl$ とし其の縱距を $y=\gamma l$ とする。拱肋の任意横断面に作用する応力は曲げモーメント、軸圧力及剪断力の 3 種であり、是等を夫々 M, N, T を以て表はす。拱軸曲線上の任意の 1 點 n に 1 なる荷重を作用せしめた時の拱端垂直反力を V_A 及 V_B とし水平反力を H とすれば與へられたる横断面に生ずる M, N, T は次の如く書く事が出来る。



$$\text{但し } V_A = 1(l - k_n), \quad V_B = 1 \times k_n$$

$$\left. \begin{aligned} M: \quad & A \sim n \quad M = V_A x - Hy = [(1 - k_n)k - \gamma H] \times l \\ & n \sim B \quad M = V_B(l - x) - Hy = [(1 - k)k_n - \gamma H] \times l \end{aligned} \right\} \quad \dots \dots \dots \quad (g_1)$$

$$\left. \begin{aligned} N: \quad & A \sim n \quad N = V_A \sin \varphi + H \cos \varphi = (1 - k_n) \sin \varphi + H \cos \varphi \\ & n \sim B \quad N = (V_B - 1) \sin \varphi + H \cos \varphi = -k_n \sin \varphi + H \cos \varphi \end{aligned} \right\} \quad \dots \dots \dots \quad (g_2)$$

$$\left. \begin{aligned} T: & A \sim n, T = V_A \cos \varphi - H \sin \varphi = (1 - k_n) \cos \varphi - H \sin \varphi \\ & n \sim B, T = (V_A - 1) \cos \varphi - H \sin \varphi = -k_n \cos \varphi - H \sin \varphi \end{aligned} \right\} \quad \dots \quad (g_3)$$

是等の各式に於ける (+) 及 (-) の定め方は

M : 拱肋の上部縁維に應圧力を、下部縁維に應張力を生ずるものと (+) とする。

N : 軸圧力を (+), 軸張力を (-) とする。

T : 拱肋横断面を右から見た時に面に平行し下向に作用する剪断力を (+) とする。

尙注意すべき點は $\cos \varphi$ は拱の全長を通じて (+) であるが、 $\sin \varphi$ は $A \sim C$ 間は (+), $C \sim B$ 間は (-) となるから N 及 T の實際の正負は $\sin \varphi$ に依りて変化する。

不靜定條件 H を定める方法は二、三あるけれども、著者は “principle of least work” を用ひる事とした。“Work” は M に依るもの、 N に依るもの、 T に依るもの及溫度變化に依るものであつて全部の仕事量 W は次の如く表はされる。

$$W = \frac{1}{2} \int_0^l \frac{M^2 dx}{EI \cos \varphi} + \frac{1}{2} \int_0^l \frac{N^2 dx}{EA \cos \varphi} + \frac{1}{2} \int_0^l \frac{\beta T^2 dx}{GA \cos \varphi} \mp \int_0^l N e t^\circ \frac{dx}{\cos \varphi}$$

是等の項はいづれも H の函數であるから W は H で微分する事が出來、且つ “Principle of least work” に由りて微分した結果は零となる。

$$\text{即ち } \frac{\partial W}{\partial H} = \int_0^l \frac{\partial M}{\partial H} \times \frac{M dx}{EI \cos \varphi} + \int_0^l \frac{\partial N}{\partial H} \times \frac{N dx}{EA \cos \varphi} + \int_0^l \frac{\partial T}{\partial H} \times \frac{\beta T dx}{GA \cos \varphi} \mp e t^\circ \int_0^l \frac{\partial N}{\partial H} \times \frac{dx}{\cos \varphi} = 0$$

前記 (g) の各式に依り

$$\frac{\partial M}{\partial H} = -y, \quad \frac{\partial N}{\partial H} = \cos \varphi, \quad \frac{\partial T}{\partial H} = -\sin \varphi$$

であり又 F , G 及 β は定數であるから是等を積分の外に出すと次の如き形となる。

$$-\int_0^l \frac{My dx}{I \cos \varphi} + \int_0^l \frac{Nd x}{A} - \beta \frac{E}{G} \int_0^l \frac{T \sin \varphi dx}{A \cos \varphi} \mp E e t^\circ l = 0$$

積分は径間の全長に對して行ふのであるけれども負荷點 n を境として M , N , T の式が變化するから積分限界は $0 \sim x_n$, 及 $x_n \sim l$ の 2 つとなる、又 $x = kl$ とした爲に x_n は $k_n l$, l は $1 \times l$ となるから限界は $0 \sim x_n$ の代りに $0 \sim k_n$, $x_n \sim l$ の代りに $k_n \sim 1$ を用ひる事とする。又 $x = kl$ であるから $dx = l \times dk$ となり是等のすべての値を上記の基本式に入れて見ると

$$\begin{aligned} & - \int_0^{k_n} \frac{[(1-k_n)k - yH]y \sec \varphi l^2 dk}{I} - \int_{k_n}^1 \frac{[(1-k)k - yH]y \sec \varphi l^2 dk}{I} \\ & + \int_0^{k_n} \frac{[(1-k_n)\sin \varphi + H \cos \varphi]l dk}{A} + \int_{k_n}^1 \frac{[-k_n \sin \varphi + H \cos \varphi]l dk}{A} \\ & - \beta \frac{E}{G} \int_0^{k_n} \frac{[(1-k_n)\cos \varphi - H \sin \varphi]l \sin \varphi l dk}{A \cos \varphi} - \beta \frac{E}{G} \int_{k_n}^1 \frac{[-k_n \cos \varphi - H \sin \varphi]l \sin \varphi l dk}{A \cos \varphi} \\ & \mp E e t^\circ l = 0 \end{aligned}$$

となり、是より H の値を求めるとき分母の形となり其の分母及分子は次の如くである。

$$\begin{aligned} \text{分母: } & l^3 \int_0^1 \frac{y^2 \sec \varphi dk}{I} + l \int_0^1 \frac{\cos \varphi dk}{A} + \beta \frac{E}{G} \int_0^l \frac{\sin^2 \varphi dk}{A \cos \varphi} \\ & = 2 \left[l^3 \int_0^1 \frac{y^2 \sec \varphi dk}{I} - \left(\beta \frac{E}{G} + 1 \right) l \int_0^1 \frac{\cos \varphi dk}{A} + \beta \frac{E}{G} l \int_0^1 \frac{\sec \varphi dk}{A} \right] \end{aligned}$$

$$\text{分子: } l^3 \int_0^{k_n} \frac{k\gamma \sec \varphi dk}{I} - k_nl^3 \int_0^1 \frac{k\gamma \sec \varphi dk}{I} + k_nl^3 \int_{k_n}^1 \frac{\gamma \sec \varphi dk}{I} - l \int_0^{k_n} \frac{\sin \varphi dk}{A} \\ + k_nl \int_0^1 \frac{\sin \varphi dk}{A} + \beta \frac{E}{G} l \int_0^{k_n} \frac{\sin \varphi dk}{A} - \beta \frac{E}{G} k_nl \int_0^1 \frac{\sin \varphi dk}{A} \pm E\varepsilon t^2 l$$

分子に於て $\int_0^1 \frac{\sin \varphi dk}{A} = 0$ であるから

$$\text{分子: } l^3 \int_0^{k_n} \frac{k\gamma \sec \varphi dk}{I} - k_nl^3 \int_0^1 \frac{k\gamma \sec \varphi dk}{I} + k_nl^3 \int_{k_n}^1 \frac{\gamma \sec \varphi dk}{I} - l \int_0^{k_n} \frac{\sin \varphi dk}{A} \\ + \beta \frac{E}{G} l \int_0^{k_n} \frac{\sin \varphi dk}{A} \pm E\varepsilon t^2 l$$

分母及分子に於て $\beta \frac{E}{G}$ 及 $(\beta \frac{E}{G} - 1)$ は共に定数であり是等を θ_1 及 θ_2 なる記号を以て表はし H の式を作れば

$$H = \frac{l^3 \int_0^{k_n} \frac{k\gamma \sec \varphi dk}{I} - k_nl^3 \int_0^1 \frac{k\gamma \sec \varphi dk}{I} + k_nl^3 \int_{k_n}^1 \frac{\gamma \sec \varphi dk}{I} + \theta_2 l \int_0^{k_n} \frac{\sin \varphi dk}{A} \pm E\varepsilon t^2 l}{2 \left[l^3 \int_0^{\frac{1}{2}} \frac{\gamma^2 \sec \varphi dk}{I} - \theta_2 l \int_0^{\frac{1}{2}} \frac{\cos \varphi dk}{A} + \theta_1 l \int_0^{\frac{1}{2}} \frac{\sec \varphi dk}{A} \right]} \quad \dots \dots \dots (h)$$

(h) の式は 2 鋼筋拱橋の水平反力を求むる爲の一般公式であるけれども、此の儘では實用に供する事が出來ないから、以下種々なる場合の實用公式を考へる事にする。

(1) 拱肋の高さが拱頂から拱端に向ひ漸次減少する鋼筋肋

3 の 1 に於て述べた通り鋼筋肋の横断面積及其の 2 次率は夫々 $A = t_w \alpha \mu_1 l$, $I = t_w \alpha^3 \mu_2 l^3$ なる形で表はされ腹板厚 t_w は拱の全長を通じて一定であり、 α は拱肋の高さを示す係数で拱頂から拱端に向つて漸減する、 μ_1 及 μ_2 なる係数は拱肋の高さ及 A_w/A_w なる比に依りて変化するものであり、是等は 図-7, 8 又は 図-9 に依りて相當正確なる値を求める事が出来る。此の A 及 I を基本式 (h) に代入すると温度変化に依る項を除き他の項からは t_w , l 及 l^3 を消去する事が出来る。

即ち

$$H = \frac{\int_0^{k_n} \frac{k\gamma \sec \varphi dk}{\alpha^3 \mu_2} - k_n \int_0^1 \frac{k\gamma \sec \varphi dk}{\alpha^3 \mu_2} + k_n \int_{k_n}^1 \frac{\gamma \sec \varphi dk}{\alpha^3 \mu_2} + \theta_2 \int_0^{k_n} \frac{\sin \varphi dk}{\alpha \mu_1} \pm E\varepsilon t^2 l}{2 \left[\int_0^{\frac{1}{2}} \frac{\gamma^2 \sec \varphi dk}{\alpha^3 \mu_2} - \theta_2 \int_0^{\frac{1}{2}} \frac{\cos \varphi dk}{\alpha \mu_1} + \theta_1 \int_0^{\frac{1}{2}} \frac{\sec \varphi dk}{\alpha \mu_1} \right]} \quad \dots \dots \dots (i)$$

α 及 μ_1 , μ_2 を k の函数として表はす事は不可能では無いと思はれるけれども、假りに出来たとしても極めて複雑な形となるは言を俟たざる處で、従つて (i) 式の各積分を行ふ事は困難であるから、今迄普通に行はれて居る通りに有限数の和を求むる形に変へて實用に適する如くにする。

今

$$\frac{\gamma \sec \varphi}{\alpha^3 \mu_2} = w_a, \quad \frac{\gamma^2 \sec \varphi}{\alpha^3 \mu_2} = \gamma w_a = w_b, \quad \frac{k\gamma \sec \varphi}{\alpha^3 \mu_2} = k w_a = w_c, \quad \frac{\sin \varphi}{\alpha \mu_1} = w_d, \\ \frac{\cos \varphi}{\alpha \mu_1} = w_e, \quad \frac{\sec \varphi}{\alpha \mu_1} = w_f$$

とすれば、(i) の式は

$$H = \frac{\int_0^{k_n} w_c dk - k_n \int_0^1 w_c dk - k_n \int_{k_n}^1 w_c dk + \theta_2 \int_0^{k_n} w_a dk \pm E\varepsilon t^2 l}{2 \left[\int_0^{\frac{1}{2}} w_b dk - \theta_2 \int_0^{\frac{1}{2}} w_e dk + \theta_1 \int_0^{\frac{1}{2}} w_f dk \right]} \quad \dots \dots \dots (j)$$

となる。拱軸曲線上の多くの點に於て前記の如き各種の w を求め夫等を點の横距 k に對する縦距として图形を畫けば夫等は w の変化を示す图形となり假に之を w -图形と名づける。 $w dk$ は dk なる長さに對する w -图形の面積であるから $\int w dk$ は積分の限界内に於ける图形の全面積となる。従つて積分を行ふ事の代りに w -图形の面積を正確に測定する事を考へればよい。積分の限界 $0 \sim \frac{1}{2}$ は拱端 A から拱頂 C 迄の w -图形の面積を計る事であり、 $0 \sim 1$ は A から B 迄、 $0 \sim k_n$ は A から負荷點 n 迄、 $k_n \sim 1$ は負荷點 n から拱端 B 迄の面積を求める意味になる。 H を正確に計算する爲には此の面積測定を正確に行ふ事が必要であり、夫が爲には w を求める點の間の水平距離 Δk を dk に準じて極めて小さく取る事を要するけれども、然し之を極端に小ならしむれば實地計算に困難を感じるから著者の意見としては径間 50m 程度迄の拱であるならば径間を 20 に等分した各點に相當する拱軸曲線上の諸點に就き w を計算する程度で差支が無いと思ふ。尙又拱軸曲線の長さを等分せずして径間の方を等分する事は w -图形の面積計算に對しても亦 H の影響線を作る上にも大なる便宜を與へる。今有限長 Δk の左端の w を w_m 、右端の w を w_{m+1} とすれば Δk に對する图形の面積 ΔW は $\Delta W = \frac{1}{2}(w_m + w_{m+1})\Delta k$ となるのであるが、若し径間を或數に等分し、従つて Δk が一定であり且つ荷重の負荷點 n を径間の等分點に相當する拱軸曲線上の點に置くならば一々前記の如く ΔW を計算する必要を認めない。今径間を 20 に等分し之に相當する拱軸曲線上の諸點の名稱を拱端 A から $0, 1, 2$ 等とすれば拱頂 C は 10、拱端 B は 20 となる。之に従つて各點の w は $w_{a_0}, w_{a_1}, w_{a_2}$ 等と書き表はす事にする。負荷點 n を假に 12 なる點に置きたる場合に H の分母、分子の各積分即ち w -图形の面積を求むる式を示せば次の如くである。但し $\Delta k = \frac{1}{20} = 0.05$ ， $k_n = 12 \times 0.05 = 0.6$

$$\int_0^{\frac{1}{2}} w_b dk = \left[\frac{1}{2}w_{b_0} + w_{b_1} + w_{b_2} + \dots + w_{b_9} + \frac{1}{2}w_{b_{10}} \right] \times 0.05 \quad w_{b_0} = 0$$

$$\theta_2 \int_0^{\frac{1}{2}} w_{edk} = \theta_2 \left[\frac{1}{2}w_{e_0} + w_{e_1} + w_{e_2} + \dots + w_{e_9} + \frac{1}{2}w_{e_{10}} \right] \times 0.05$$

$$\theta_1 \int_0^{\frac{1}{2}} w_{fdk} = \theta_1 \left[\frac{1}{2}w_{f_0} + w_{f_1} + w_{f_2} + \dots + w_{f_9} + \frac{1}{2}w_{f_{10}} \right] \times 0.05$$

$$\int_0^{k_n} w_{cdk} = \left[\frac{1}{2}w_{c_0} + w_{c_1} + w_{c_2} + \dots + w_{c_{10}} + w_{c_{11}} + \frac{1}{2}w_{c_{12}} \right] \times 0.05 \quad w_{c_0} = 0$$

$$k_n \int_0^1 w_{edk} = 0.6 \left[\frac{1}{2}w_{e_0} + w_{e_1} + \dots + w_{e_{10}} + w_{e_{11}} + \dots + w_{e_{19}} + \frac{1}{2}w_{e_{20}} \right] \times 0.05 \quad w_{e_0} = 0, \quad w_{e_{20}} = 0$$

$$= 0.6 \left[w_{a_1} + w_{a_2} + w_{a_3} + \dots + w_{a_8} + w_{a_9} + \frac{1}{2}w_{a_{10}} \right] \times 0.05 \quad w_a = kw_a$$

$$k_n \int_{k_n}^1 w_{adk} = 0.6 \left[\frac{1}{2}w_{a_{15}} + w_{a_{16}} + w_{a_{17}} + \dots + w_{a_{18}} + w_{a_{19}} + \frac{1}{2}w_{a_{20}} \right] \times 0.05 \quad w_{a_{20}} = 0$$

$$= 0.6 \left[w_{a_1} + w_{a_2} + w_{a_3} + \dots + w_{a_6} + w_{a_7} + \frac{1}{2}w_{a_8} \right] \times 0.05$$

$$\theta_2 \int_0^{k_n} w_{adk} = \theta_2 \left[\frac{1}{2}w_{a_0} + w_{a_1} + w_{a_2} + \dots + w_{a_{10}} + w_{a_{11}} + \frac{1}{2}w_{a_{12}} \right] \times 0.05 \quad w_{a_{10}} = 0$$

斯く Δk が一定の場合には夫が H の分母、分子を通じて一様に含まれて居る關係上消去せられるから前記の各式に於て始めから 0.05 を省略する事が出来る。又 H の影響線は對稱拱に於てはやはり對稱の形となる。例へば負荷點 n を 12 に置いた時の H は n を 8 とした時の H と同一であるから結局負荷點は區分點 1 から 10 遠の間に置けばよい。鉄筋に於ては E/G の値は大体 2.5 の程度で一定であるけれども、剪断歪の係数 β は拱筋

高の変化に伴つて多少変化するから ϵ_1 及 θ_1 は径間の全長に亘りて一定では無いのであるが、然し普通に用ひられる拱肋横断面に於ては β は 2.5~3.0 の範囲を出でないから θ_1 は 6.25~7.50, θ_2 は 5.25~6.50 の間に変化し最大最小の差は著しく無いから是等の平均値を取り、 $\theta_1=6.9$, $\theta_2=5.9$ として H の式にあてはめて差支無きものと思はれる。

2. 高さが一定なる鉄筋拱肋

此の場合は高さ D が一定であると同時に腹板厚 t_w 及突縁山形鋼も一定であるから拱肋の横断面積及其の 2 次率に変化を與ふるものは蓋板のみである。鉄筋の蓋板数は 1~3 であり、夫に従つて A も I も変化するのであるから拱肋の全長を通じて蓋板数が一定ならざる場合には $D=\alpha d$ で一定であつても μ_1 及 μ_2 は一定とはならない。即ち $A=t_w\alpha d\mu_1$, $I=t_w\alpha c^3\mu_2$ であるから是等を基本式 (h) にあてはめると

$$H = \frac{\int_0^{k_n} \frac{k\gamma \sec \varphi dk}{\mu_2} - k_n \int_0^1 \frac{k\gamma \sec \varphi dk}{\mu_2} + k_n \int_{k_n}^1 \frac{\gamma \sec \varphi dk}{\mu_2} + \theta_2 \alpha c^2 \int_0^{k_n} \frac{\sin \varphi dk}{\mu_1} \pm E t_w \alpha c^3 \epsilon t^0 l}{2 \left[\int_0^{\frac{1}{2}} \frac{\gamma^2 \sec \varphi dk}{\mu_2} - \theta_2 \alpha c^2 \int_0^{\frac{1}{2}} \frac{\cos \varphi dk}{\mu_1} + \theta_1 \alpha c^2 \int_0^{\frac{1}{2}} \frac{\sec \varphi dk}{\mu_1} \right]} \quad \dots \dots \dots \quad (j')$$

なる式が得られる。是を (i) 式と同様に取扱ひ (j) 式を作り w -図形の面積を計る形として H を求める事が出来る。

拱橋を新に設計する場合に蓋板の配置を豫め定める事は不可能であり従つて (j') 式を用ひる事は出来難き所であるから、拱肋高が均一の條件に於ては A も I も夫々均一と假定する事が妥當であると思ふ、即ち $A=t_w\alpha d\mu_1$, $I=t_w\alpha c^3\mu_2$ であつて μ_1 及 μ_2 は拱頂に於ける拱肋横断面に對する係數であるけれど共に是等を拱肋の全長に對して一様に用ひる事とし基本式 (h) に依りて H の式を求める

$$H = \frac{\int_0^{k_n} k\gamma \sec \varphi dk - k_n \int_0^1 k\gamma \sec \varphi dk + k_n \int_{k_n}^1 \gamma \sec \varphi dk + \theta_2 \frac{\mu_2 \alpha c^2}{\mu_1} \int_0^{k_n} \sin \varphi dk \pm E t_w \mu_2 \alpha c^3 \epsilon t^0 l}{2 \left[\int_0^{\frac{1}{2}} \gamma^2 \sec \varphi dk - \theta_2 \frac{\mu_2 \alpha c^2}{\mu_1} \int_0^{\frac{1}{2}} \cos \varphi dk + \theta_1 \frac{\mu_2 \alpha c^2}{\mu_1} \int_0^{\frac{1}{2}} \sec \varphi dk \right]} \quad \dots \dots \dots \quad (k)$$

なる形となり分母、分子の各積分は parabola 及 circle 共に可能である。以下 2 つの曲線に對する積分の結果を示す。

(a). Parabola

$$y=4mk(1-k)^2, \quad \gamma=4mk(1-k), \quad \tan \varphi=4m(1-2k)$$

$$\sec \varphi = \sqrt{1+16m^2(1-2k)^2}, \quad \sin \varphi = \frac{4m(1-2k)}{\sqrt{1+16m^2(1-2k)^2}}, \quad \cos \varphi = \frac{1}{\sqrt{1+16m^2(1-2k)^2}}$$

分母各項の積分

$$(I) \quad \int_0^{\frac{1}{2}} \gamma^2 \sec \varphi dk = \int_0^{\frac{1}{2}} 16m^2 k^2 (1-k)^2 \sqrt{1+16m^2(1-2k)^2} dk = 16m^2 \int_0^{\frac{1}{2}} k^2 (1-k)^2 4m \sqrt{\frac{1}{16m^2} + (1-2k)^2} dk$$

$$1/16m^2 = a^2, \quad (1-2k) = k' \quad \text{とすれば}$$

$$k = \frac{1-k'}{2}, \quad dk = -\frac{dk'}{2}, \quad 1-k = \frac{1+k'}{2}$$

となるから是等を前の式に入れる

$$\int \gamma^2 \sec \varphi dk = -2m^2 \int [1-2(k')^2 + (k')^4] \sqrt{a^2 + (k')^2} dk'$$

積分の限界 $k=0 \sim 1/2$ に對し $k'=1 \sim 0$ となるから夫に依り積分を行へば

$$\int_0^{\frac{1}{2}} \gamma^2 \sec \varphi dk = -2m^2 \int_1^0 [1 - 2(k')^2 + (k')^4] \sqrt{a^2 + (k')^2} dk'$$

$$= \frac{2048m^4 + 64m^2 + 1}{8192m^2} \left[\sqrt{1+16m^2} - \frac{1}{4m} \log \frac{1}{4m} + \frac{1}{4m} \log \left(\frac{1}{4m} \sqrt{1+16m^2} + 1 \right) \right] - \frac{128m^2 + 3}{12288m^2} \sqrt{(1+16m^2)^3}$$

$$= \frac{2048m^4 + 64m^2 + 1}{8192m^2} \left[\sqrt{1+16m^2} + \frac{1}{4m} \log (\sqrt{1+16m^2} + 4m) \right] - \frac{128m^2 + 3}{12288m^2} \sqrt{(1+16m^2)^3}$$

$$(II) -\theta_2 \frac{\mu_{2c}\alpha_c^2}{\mu_{1c}} \int_0^{\frac{1}{2}} \cos \varphi dk = -\theta_2 \frac{\mu_{2c}\alpha_c^2}{\mu_{1c}} \int_0^{\frac{1}{2}} \frac{dk}{\sqrt{1+16m^2(1-2k)^2}} = \theta_2 \frac{\mu_{2c}\alpha_c^2}{\mu_{1c}} \times \frac{1}{8m} \int_1^0 \frac{dk'}{\sqrt{a^2 + (k')^2}}$$

$$= \theta_2 \frac{\mu_{2c}\alpha_c^2}{\mu_{1c}} \times \frac{1}{8m} \left[\log \frac{1}{4m} - \log \left(\frac{1}{4m} \sqrt{1+16m^2} + 1 \right) \right]$$

$$= -\theta_2 \frac{\mu_{2c}\alpha_c^2}{\mu_{1c}} \times \frac{1}{8m} \log (\sqrt{1+16m^2} + 4m)$$

$$(III) \theta_1 \frac{\mu_{2c}\alpha_c^2}{\mu_{1c}} \int_0^{\frac{1}{2}} \sec \varphi dk = \theta_1 \frac{\mu_{2c}\alpha_c^2}{\mu_{1c}} \int_0^{\frac{1}{2}} \sqrt{1+16m^2(1-2k)^2} dk = -\theta_1 \frac{\mu_{2c}\alpha_c^2}{\mu_{1c}} \times 2m \int_1^0 \sqrt{a^2 + (k')^2} dk'$$

$$= \theta_1 \frac{\mu_{2c}\alpha_c^2}{\mu_{1c}} \left[\frac{1}{4} \sqrt{1+16m^2} + \frac{1}{16m} \log \left(\frac{1}{4m} \sqrt{1+16m^2} + 1 \right) - \frac{1}{16m} \log \frac{1}{4m} \right]$$

$$= \theta_1 \frac{\mu_{2c}\alpha_c^2}{\mu_{1c}} \times \frac{1}{4} \left[\sqrt{1+16m^2} + \frac{1}{4m} \log (\sqrt{1+16m^2} + 4m) \right]$$

$$\therefore \text{分母} = 2[\text{I} + \text{II} + \text{III}]$$

$$= \frac{2048m^4 + 64m^2 + 1}{4096m^2} \left[\sqrt{1+16m^2} + \frac{1}{4m} \log (\sqrt{1+16m^2} + 4m) \right] - \frac{128m^2 + 3}{6144m^2} \sqrt{(1+16m^2)^3}$$

$$- \theta_2 \frac{\mu_{2c}\alpha_c^2}{\mu_{1c}} \times \frac{1}{4m} \log (\sqrt{1+16m^2} + 4m)$$

$$+ \theta_1 \frac{\mu_{2c}\alpha_c^2}{\mu_{1c}} \times \frac{1}{2} \left[\sqrt{1+16m^2} + \frac{1}{4m} \log (\sqrt{1+16m^2} + 4m) \right] \quad \left. \right\} (1)$$

分子各項の積分

$$(IV) \int_0^{k_n} k \gamma \sec \varphi dk = \int_0^{k_n} k 4m k(1-k) \sqrt{1+16m^2(1-2k)^2} dk = 16m^2 \int_0^{k_n} k^2(1-k) \sqrt{a^2 + (1-2k)^2} dk$$

積分限界 $k=0 \sim k_n$ に對し $k'=1 \sim (1-2k_n)$ なるを以て

$$\int_0^{k_n} k \gamma \sec \varphi dk = -m^2 \int_1^{(1-2k_n)} [1 - k' - (k')^2 + (k')^3] \sqrt{a^2 + (k')^2} dk'$$

$$= \frac{64m^2 + 1}{512m} \sqrt{16m^2 + 1} - \frac{46m^2 + 1}{7680m^2} \sqrt{[16m^2 + 1]^3} + \frac{64m^2 + 1}{2048m^2} \log \left(\frac{1}{4m} \sqrt{16m^2 + 1} + 1 \right)$$

$$- \frac{64m^2 + 1}{512m} (1-2k_n) \sqrt{16m^2(1-2k_n)} + \frac{1}{7680m^3} \left[\frac{46m^2 + 1}{640m} + \frac{3k_n}{640m} - \frac{8k_n^2}{640m} \right] \sqrt{[16m^2(1-2k_n)]^3}$$

$$- \frac{64m^2 + 1}{2048m^2} \log \left\{ \frac{1}{4m} \sqrt{16m^2(1-2k_n)^2 + 1} + (1-2k_n) \right\}$$

$$(V) -k_n \int_0^1 k \gamma \sec \varphi dk = m^2 k_n \int_1^{-1} [1 - k' - (k')^2 + (k')^3] \sqrt{a^2 + (k')^2} dk'$$

$$= -\frac{64m^2 + 1}{256m} k_n \sqrt{16m^2 + 1} + \frac{1}{128m} k_n \sqrt{[16m^2 + 1]^3} + \frac{64m^2 + 1}{2048m^2} k_n \log \left(\frac{1}{4m} \sqrt{16m^2 + 1} - 1 \right)$$

$$-\frac{64m^2+1}{2048m^2}k_n \log\left(\frac{1}{4m}\sqrt{16m^2+1}+1\right)$$

$$(VI) \quad k_n \int_{k_n}^1 \gamma \sec \varphi dk = k_n \int_{k_n}^1 4mk(1-k)\sqrt{1+16m^2(1-2k)^2} dk = -2m^2k_n \int_{(1-2k_n)}^{-1} \frac{[1-(k')^2]\sqrt{a^2+(k')^2}}{(1-2k_n)} dk' \\ = \frac{64m^2+1}{256m}k_n \sqrt{16m^2+1} - \frac{1}{128m}k_n \sqrt{[16m^2+1]^3} - 2 \times \frac{64m^2+1}{2048m^2}k_n \log\left(\frac{1}{4m}\sqrt{16m^2+1}-1\right) \\ + \frac{64m^2+1}{256m}k_n(1-2k_n)\sqrt{16m^2(1-2k_n)^2+1} - \frac{1}{128m}k_n(1-2k_n)\sqrt{[16m^2(1-2k_n)^2+1]^3} + \\ 2 \times \frac{64m^2+1}{2048m^2}k_n \log\left\{(1-2k_n)+\sqrt{16m^2(1-2k_n)^2+1}\right\}$$

$$(VII) \quad \theta_2 \frac{\mu_{2c}\alpha c^2}{\mu_{1c}} \int_0^{k_n} \sin \varphi dk = \theta_2 \frac{\mu_{2c}\alpha c^2}{\mu_{1c}} \int_0^{k_n} \frac{4m(1-2k)}{\sqrt{1+16m^2(1-2k)^2}} dk = -\theta_2 \frac{\mu_{2c}\alpha c^2}{\mu_{1c}} \times \frac{1}{2} \int_1^{(1-2k_n)} \frac{k' dk'}{\sqrt{a^2+(k')^2}} \\ = \theta_2 \frac{\mu_{2c}\alpha c^2}{\mu_{1c}} \times \frac{1}{8m} \left[\sqrt{16m^2+1} - \sqrt{16m^2(1-2k_n)^2+1} \right]$$

∴ 分子 = [IV + V + VI + VII]

$$= \frac{64m^2+1}{2048m^2} \left[4m\sqrt{16m^2+1} - k_n \log\left(\frac{1}{4m}\sqrt{16m^2+1}-1\right) \right]$$

$$+ (1-k_n) \log\left(\frac{1}{4m}\sqrt{16m^2+1}+1\right) - 4m(1-2k_n)^2\sqrt{16m^2(1-2k_n)^2+1}$$

$$- (1-2k_n) \log\left\{\frac{1}{4m}\sqrt{16m^2(1-2k_n)^2+1} + (1-2k_n)\right\} \quad (m)$$

$$- \frac{46m^2+1}{7680m^3} \left[\sqrt{[16m^2+1]^3} - \sqrt{[16m^2(1-2k_n)^2+1]^3} \right] - \frac{k_n(1-k_n)}{320m} \sqrt{[16m^2(1-2k_n)^2+1]^3}$$

$$+ \theta_2 \frac{\mu_{2c}\alpha c^2}{\mu_{1c}} \times \frac{1}{8m} \left[\sqrt{16m^2+1} - \sqrt{16m^2(1-2k_n)^2+1} \right]$$

斯くして得たる分母(l)及分子(m)は一見甚だ複雑なる觀あるも實質に於ては $\sqrt{16m^2+1}$ 及 $\sqrt{16m^2(1-2k)^2+1}$ を主体とする計算にして極めて容易に之を行ふ事を得べく、又 $\sqrt{16m^2+1} = \sec \varphi_A$, $\sqrt{16m^2(1-2k)^2+1} = \sec \varphi$ なるを以て拱軸曲線上の各區分點の $\tan \varphi$ の値に依り φ を見出し三角函數表を用ひて $\sec \varphi$ を計算する事が出来る。

(b) Circle

$$y = [m' + \sqrt{n^2 - (k')^2}] \times l, \quad \gamma = [m' + \sqrt{n^2 - (k')^2}], \quad n = \frac{1+4m^2}{8m}, \quad m = \frac{f}{l}, \quad nl = R = 円の半径, \quad m' = m - n \\ k' = \frac{1}{2} - k = \frac{1-2k}{2}, \quad k = \frac{1}{2} - k', \quad dk = -dk', \quad \sec \varphi = \frac{n}{\sqrt{n^2 - (k')^2}}, \quad \sin \varphi = \frac{k'}{n}, \quad \cos \varphi = \frac{\sqrt{n^2 - (k')^2}}{n}$$

分母各項の積分

$$(I) \quad \int_0^{\frac{1}{2}} \gamma^2 \sec \varphi dk = - \int_{\frac{1}{2}}^0 [m' + \sqrt{n^2 - (k')^2}]^2 \times \frac{n}{\sqrt{n^2 - (k')^2}} dk' \\ = - [(m')^2 + n^2] n \int_{\frac{1}{2}}^0 \frac{dk'}{\sqrt{n^2 - (k')^2}} - 2m'n \int_{\frac{1}{2}}^0 dk' + n \int_{\frac{1}{2}}^0 \frac{(k')^2 dk'}{\sqrt{n^2 - (k')^2}} \\ = n(m')^2 \sin^{-1} \frac{1}{2n} + \frac{n^3}{2} \sin^{-1} \frac{1}{2n} + nm' + \frac{n}{4} \sqrt{n^2 - \frac{1}{4}}$$

$$(II) -\theta_2 \frac{\mu_{2c}\alpha_c^2}{\mu_{1c}} \int_0^{\frac{1}{2}} \cos \varphi dk = \theta_2 \frac{\mu_{2c}\alpha_c^2}{\mu_{1c}} \times \frac{1}{n} \int_{\frac{1}{2}}^0 \sqrt{n^2 - (k')^2} dk' = -\theta_2 \frac{\mu_{2c}\alpha_c^2}{\mu_{1c}} \times \frac{1}{n} \left[\frac{1}{4} \sqrt{n^2 - \frac{1}{4}} + \frac{n^2}{2} \sin^{-1} \frac{1}{2n} \right]$$

$$(III) \theta_1 \frac{\mu_{2c}\alpha_c^2}{\mu_{1c}} \int_0^{\frac{1}{2}} \sec \varphi dk = -\theta_1 \frac{\mu_{2c}\alpha_c^2}{\mu_{1c}} \times n \int_{\frac{1}{2}}^0 \frac{dk'}{\sqrt{n^2 - (k')^2}} = \theta_1 \frac{\mu_{2c}\alpha_c^2}{\mu_{1c}} \times n \sin^{-1} \frac{1}{2n}$$

$$\therefore \text{分母} = 2[I + II + III] = [2n(m')^2 + n^2] \sin^{-1} \frac{1}{2n} + 2m'n + \frac{n}{2} \sqrt{n^2 - \frac{1}{4}} \\ + \frac{\mu_{2c}\alpha_c^2}{\mu_{1c}} \left[(2\theta_1 - \theta_2)n \sin^{-1} \frac{1}{2n} - \frac{\theta_2}{2n} \sqrt{n^2 - \frac{1}{4}} \right] \quad \dots \dots \dots \dots \dots \dots (n)$$

分子各項の積分

$$(IV) \int_0^{k_n} k\gamma \sec \varphi dk = - \int_{\frac{1}{2}}^{(\frac{1}{2}-k_n)} \left(\frac{1}{2} - k' \right) \left[m' + \sqrt{n^2 - (k')^2} \right] \frac{n}{\sqrt{n^2 - (k')^2}} dk' \\ = - \frac{m'n}{2} \int_{\frac{1}{2}}^{\frac{1}{2}-k_n} \frac{dk'}{\sqrt{n^2 - (k')^2}} - \frac{n}{2} \int_{\frac{1}{2}}^{\frac{1}{2}-k_n} \frac{dk'}{\sqrt{n^2 - (k')^2}} + m'n \int_{\frac{1}{2}}^{\frac{1}{2}-k_n} \frac{k'dk'}{\sqrt{n^2 - (k')^2}} + n \int_{\frac{1}{2}}^{\frac{1}{2}-k_n} \frac{k' dk'}{\sqrt{n^2 - (k')^2}} \\ = \frac{m'n}{2} \sin^{-1} \frac{1}{2n} + m'n \sqrt{n^2 - \frac{1}{4}} - \frac{m'n}{2} \sin^{-1} \frac{\left(\frac{1}{2}-k_n\right)}{n} - m'n \sqrt{n^2 - \left(\frac{1}{2}-k_n\right)^2} + \frac{nkn}{2}$$

$$(V) -k_n \int_0^1 k\gamma \sec \varphi dk = k_n \int_{\frac{1}{2}}^{-\frac{1}{2}} \left(\frac{1}{2} - k' \right) \left[m' + \sqrt{n^2 - (k')^2} \right] \frac{n}{\sqrt{n^2 - (k')^2}} dk' \\ = -k_n \times m'n \times \sin^{-1} \frac{1}{2n} - \frac{nkn}{2}$$

$$(VI) k_n \int_{k_n}^1 \gamma \sec \varphi dk = -k_n \int_{(\frac{1}{2}-k_n)}^{-\frac{1}{2}} \left[m' + \sqrt{n^2 - (k')^2} \right] \frac{n}{\sqrt{n^2 - (k')^2}} dk' \\ = -k_n \times m'n \int_{(\frac{1}{2}-k_n)}^{-\frac{1}{2}} \frac{dk'}{\sqrt{n^2 - (k')^2}} - k_n \times n \int_{(\frac{1}{2}-k_n)}^{-\frac{1}{2}} dk' \\ = k_n \times m'n \times \sin^{-1} \frac{1}{2n} + k_n \times m'n \times \sin^{-1} \frac{\left(\frac{1}{2}-k_n\right)}{n} + nkn(1-k_n)$$

$$(VII) \theta_2 \frac{\mu_{2c}\alpha_c^2}{\mu_{1c}} \int_0^{k_n} \sin \varphi dk = -\theta_2 \frac{\mu_{2c}\alpha_c^2}{\mu_{1c}} \int_{\frac{1}{2}}^{(\frac{1}{2}-k_n)} \frac{k'dk'}{n} = \theta_2 \frac{\mu_{2c}\alpha_c^2}{\mu_{1c}} \times \frac{k_n(1-k_n)}{2n}$$

$$\therefore \text{分子} = [IV + V + VI + VII]$$

$$= m'n \sqrt{n^2 - \frac{1}{4}} + \frac{m'n}{2} \sin^{-1} \frac{1}{2n} - m'n \sqrt{n^2 - \left(\frac{1}{2}-k_n\right)^2} - m'n \left(\frac{1}{2}-k_n\right) \sin^{-1} \frac{\left(\frac{1}{2}-k_n\right)}{n} \\ + \frac{nkn}{2} (1-k_n) + \theta_2 \frac{\mu_{2c}\alpha_c^2}{\mu_{1c}} \times \frac{k_n(1-k_n)}{2n} \quad \dots \dots \dots \dots \dots \dots \dots (o)$$

円の場合 (n) 及 (o) の式が示す如く $\sqrt{n^2 - \frac{1}{4}}$, $\sqrt{n^2 - \left(\frac{1}{2}-k_n\right)^2}$, $\sin^{-1} \frac{1}{2n}$ 及 $\sin^{-1} \frac{(1/2-k_n)}{n}$ が計算の主体となる。

3. $I \cos \varphi$ 及 $A \cos \varphi$ が一定なる鉄筋

$\cos \varphi$ は拱頂に於ては $\cos \varphi_0$ で 1 に等しい。故に $I \cos \varphi$ 及 $A \cos \varphi$ が一定であると云ふ事は $I \cos \varphi = I_c$

$A \cos \varphi = A_c$ であると云ふ事であつて、 A_c 及 I_c は拱頂に於ける拱肋横断面の面積及其の 2 次率である、故に $I = I_c \sec \varphi$ 及 $A = A_c \sec \varphi$ であつて任意點の拱肋横断面積及其の 2 次率は $\sec \varphi$ に比例する。然るに $\sec \varphi$ は拱頂に於て最小で拱端に至るに従つて次第に増加する。故に $I \cos \varphi$ 及 $A \cos \varphi$ が一定であると云ふ事は拱肋の横断面積及其の 2 次率は拱頂から拱端に向つて増大すると云ふ結果となり、是は 2 鋼拱の場合にあつては實際と相反する事となる、又 $I \cos \varphi$ と $A \cos \varphi$ とが同時に一定であると云ふ事は容易に成立し難き條件であるから斯かる假定の下に 2 鋼拱の応力を計算する事は不適當と考へられるけれども、此の假定を行ふ事に依りて H の式の各積分は極めて簡単に出来るから屢々實用に供せられて居る。殊に $m = f/l$ の値が小なる場合には差支少しきものと考へられる。今拱頂に於て $A_c = t_w \alpha c l \mu_{1c}$, $I_c = t_w \alpha c^3 l^3 \mu_{2c}$ とすれば任意の横断面に對しては $A = t_w \alpha c l \mu_{1c} \times \sec \varphi$, $I = t_w \alpha c^3 l^3 \mu_{2c} \times \sec \varphi$ となり是を H の基本式 (h) にあてはめると

$$H = \frac{\int_0^{k_n} k \gamma dk - k_n \int_0^1 k \gamma dk + k_n \int_{k_n}^1 \gamma dk + \theta_2 \frac{\mu_{2c} \alpha c^2}{\mu_{1c}} \int_0^{k_n} \sin \varphi \cos \varphi dk \pm E t_w \mu_{2c} \alpha c^2 t^2 l}{2 \left[\int_0^1 \gamma^2 dk - \theta_2 \frac{\mu_{2c} \alpha c^2}{\mu_{1c}} \int_0^1 \cos^2 \varphi dk + \theta_2 \frac{\mu_{2c} \alpha c^2}{\mu_{1c}} \int_0^1 dk \right]} \quad (h)$$

となり是に依りて拱軸曲線が parabola 及 circle である場合の H 値を求めて見る。

(a) Parabola

$$y = 4mk(1-k)l, \quad \gamma = 4mk(1-k), \quad \tan \varphi = 4m(1-2k), \quad \sin \varphi = \frac{4m(1-2k)}{\sqrt{1+16m^2(1-2k)^2}}, \quad \cos \varphi = \frac{1}{\sqrt{1+16m^2(1-2k)^2}}$$

分母各項の積分

$$(I) \quad \int_0^1 \gamma^2 dk = \int_0^1 16m^2 k^2 (1-k)^2 dk = 16m^2 \int_0^1 (k^2 - 2k^3 + k^4) dk = \frac{8}{30} m^2$$

$$(II) \quad -\theta_2 \frac{\mu_{2c} \alpha c^2}{\mu_{1c}} \int_0^1 \cos^2 \varphi dk = -\theta_2 \frac{\mu_{2c} \alpha c^2}{\mu_{1c}} \int_0^1 \frac{dk}{1+16m^2(1-2k)^2}$$

$$4m(1-2k) = k' \text{ とすれば } dk = -\frac{1}{8m} dk' \text{ となり又積分限界 } 0 \sim \frac{1}{2} \text{ は } 4m \sim 0 \text{ であるから}$$

$$-\theta_2 \frac{\mu_{2c} \alpha c^2}{\mu_{1c}} \int_0^{\frac{1}{2}} \frac{dk}{1+16m^2(1-2k)^2} = \theta_2 \frac{\mu_{2c} \alpha c^2}{\mu_{1c}} \times \frac{1}{8m} \int_{4m}^0 \frac{dk'}{1+(k')^2} = -\theta_2 \frac{\mu_{2c} \alpha c^2}{\mu_{1c}} \times \frac{1}{8m} \tan^{-1} 4m$$

$$(III) \quad \theta_1 \frac{\mu_{2c} \alpha c^2}{\mu_{1c}} \int_0^1 dk = \frac{1}{2} \theta_1 \frac{\mu_{2c} \alpha c^2}{\mu_{1c}}$$

$$\therefore \text{ 分母} = 2[\text{I} + \text{II} + \text{III}] = \frac{8}{15} m^2 + \frac{\mu_{2c} \alpha c^2}{\mu_{1c}} \left[\theta_1 - \theta_2 \times \frac{1}{4m} \tan^{-1} 4m \right] \quad (q)$$

分子各項の積分

$$(IV) \quad \int_0^{k_n} k \gamma dk = \int_0^{k_n} k 4m k(1-k) dk = 4m \int_0^{k_n} (k^2 - k^3) dk = 4m \left(\frac{1}{3} k_n^3 - \frac{1}{4} k_n^4 \right)$$

$$(V) \quad -k_n \int_0^1 k \gamma dk = -4m k_n \int_0^1 (k^2 - k^3) dk = -\frac{1}{3} m k_n$$

$$(VI) \quad k_n \int_{k_n}^1 \gamma dk = k_n \int_{k_n}^1 4m k(1-k) dk = 4m k_n \int_{k_n}^1 (k - k^2) dk = 4m \left(\frac{1}{6} k_n - \frac{1}{2} k_n^2 + \frac{1}{3} k_n^3 \right)$$

$$(VII) \quad \theta_2 \frac{\mu_{2c} \alpha c^2}{\mu_{1c}} \int_0^{k_n} \sin \varphi \cos \varphi dk = \theta_2 \frac{\mu_{2c} \alpha c^2}{\mu_{1c}} \int_0^{k_n} \frac{4m(1-2k)}{1+16m^2(1-2k)^2} dk = -\theta_2 \frac{\mu_{2c} \alpha c^2}{\mu_{1c}} \times \frac{1}{8m} \int_{4m}^{4m(1-2k_n)} \frac{k' dk'}{1+(k')^2}$$

$$= \theta_2 \frac{\mu_{2c} \alpha c^2}{\mu_{1c}} \times \frac{1}{16m} \left[\log(16m^2+1) - \log\{16m^2(1-2k_n)^2+1\} \right]$$

∴ 分子 = [IV + V + VI + VII]

$$H = \frac{1}{3}m[k_n - 2k_n^3 + k_n^4] + \theta_2 \frac{\mu_{20}\alpha c^2}{\mu_{1c}} \times \frac{1}{16m} [\log(16m^2 + 1) - \log\{16m^2(1 - 2k_n)^2 + 1\}] \\ H = \frac{1}{3}m[k_n - 2k_n^3 + k_n^4] + \theta_2 \frac{\mu_{20}\alpha c^2}{\mu_{1c}} \times \frac{1}{16m} [\log(16m^2 + 1) - \log\{16m^2(1 - 2k_n)^2 + 1\}] \\ \frac{8}{15}m^2 + \frac{\mu_{20}\alpha c^2}{\mu_{1c}} [\theta_1 - \theta_2 \times \frac{1}{4m} \tan^{-1} 4m] \quad \dots \dots (r)$$

(b) Circle

$$y = [m - n + \sqrt{n^2 - (\frac{1}{2} - k)^2}]l, \quad m - n = m', \quad \frac{1}{2} - k = k', \quad dk = -dk', \quad \gamma = [m' + \sqrt{n^2 - (k')^2}], \\ \tan \varphi = \frac{k'}{\sqrt{n^2 - (k')^2}}, \quad \sin \varphi = \frac{k'}{n}, \quad \cos \varphi = \frac{\sqrt{n^2 - (k')^2}}{n}$$

分母各項の積分

$$(I) \quad \int_0^{\frac{1}{2}} \gamma^2 dk = - \int_{\frac{1}{2}}^0 [m' + \sqrt{n^2 - (k')^2}]^2 dk' = - \int_{\frac{1}{2}}^0 [(m')^2 + n^2 + 2m' \sqrt{n^2 - (k')^2} - (k')^2] dk' \\ = \frac{1}{2} [(m')^2 + n^2] + \frac{m'}{2} \sqrt{n^2 - \frac{1}{4}} + m' n^2 \times \sin^{-1} \frac{1}{2n} - \frac{1}{24}$$

$$(II) \quad -\theta_2 \frac{\mu_{20}\alpha c^2}{\mu_{1c}} \int_0^{\frac{1}{2}} \cos^2 \varphi dk = \theta_2 \frac{\mu_{20}\alpha c^2}{\mu_{1c}} \int_{\frac{1}{2}}^0 \frac{n^2 - (k')^2}{n^2} dk' = \theta_2 \frac{\mu_{20}\alpha c^2}{\mu_{1c}} \int_{\frac{1}{2}}^0 \left[1 - \frac{(k')^2}{n^2} \right] dk' \\ = \theta_2 \frac{\mu_{20}\alpha c^2}{\mu_{1c}} \left(\frac{1}{24n^2} - \frac{1}{2} \right)$$

$$(III) \quad \theta_1 \frac{\mu_{20}\alpha c^2}{\mu_{1c}} \int_0^{\frac{1}{2}} dk = \frac{1}{2} \theta_1 \frac{\mu_{20}\alpha c^2}{\mu_{1c}}$$

∴ 分母 = 2[I + II + III]

$$= [(m')^2 + n^2 + m' \sqrt{n^2 - \frac{1}{4}} + 2m' n^2 \times \sin^{-1} \frac{1}{2n} - \frac{1}{12}] + \frac{\mu_{20}\alpha c^2}{\mu_{1c}} [\theta_1 - \theta_2 + \frac{\theta_2}{12n^2}] \dots \dots (s)$$

分子各項の積分

$$(IV) \quad \int_0^{k_n} k \gamma dk = - \int_{\frac{1}{2}}^{(\frac{1}{2}-k_n)} \left(\frac{1}{2} - k' \right) [m' + \sqrt{n^2 - (k')^2}] dk' = - \frac{1}{2} \int_{\frac{1}{2}}^{(\frac{1}{2}-k_n)} [m' + \sqrt{n^2 - (k')^2}] dk' \\ + \int_{\frac{1}{2}}^{(\frac{1}{2}-k_n)} k' [m' + \sqrt{n^2 - (k')^2}] dk' \\ = \frac{1}{2} m' k_n - \frac{1}{4} \left[\left(\frac{1}{2} - k_n \right) \sqrt{n^2 - \left(\frac{1}{2} - k_n \right)^2} + n^2 \sin^{-1} \frac{\left(\frac{1}{2} - k_n \right)}{n} - \frac{1}{2} \sqrt{n^2 - \frac{1}{4}} - n^2 \sin^{-1} \frac{1}{2n} \right] \\ + \frac{m'}{2} \left[\left(\frac{1}{2} - k_n \right)^2 - \frac{1}{4} \right] - \frac{1}{3} \sqrt{\left[n^2 - \left(\frac{1}{2} - k_n \right)^2 \right]^3} + \frac{1}{3} \sqrt{\left(n^2 - \frac{1}{4} \right)^3}$$

$$(V) \quad -k_n \int_0^1 k \gamma dk = k_n \int_{\frac{1}{2}}^{-\frac{1}{2}} \left(\frac{1}{2} - k' \right) [m' + \sqrt{n^2 - (k')^2}] dk' = \frac{1}{2} k_n \int_{\frac{1}{2}}^{-\frac{1}{2}} [m' + \sqrt{n^2 - (k')^2}] dk' \\ - k_n \int_{\frac{1}{2}}^{-\frac{1}{2}} k' [m' + \sqrt{n^2 - (k')^2}] dk'$$

とすれば

$$H = \frac{\int_0^{k_n} w_c dk - k_n \int_0^1 w_c dk + k_n \int_{k_n}^1 w_c dk - \frac{1}{4} \int_0^{k_n} \sin \varphi dk \pm \frac{A_e}{2} E \epsilon t^o}{2 \left[\int_0^{\frac{1}{2}} w_c dk + \frac{1}{4} \int_0^{\frac{1}{2}} \cos \varphi dk \right]} \quad \dots \dots \dots \quad (j')$$

となり (j) の場合と同様 w -図形の面積を求むる事に依りて H の値を定める事が出来る。但し $\int \sin \varphi dk$ 及 $\int \cos \varphi dk$ は拱軸曲線の種類に従ひ積分法に依りて其の値を求める事が出来る。

(2) 高さが均一なる構構助

高さが均一であるから $D=D_c=\alpha c l$, $A=2A_e$, $I=\frac{1}{2} A_e \alpha c^2 l^2$ で共に拱助の全長を通じて一定である。之を (h') の式にあてはめると

$$H = \frac{\int_0^{k_n} k \gamma \sec \varphi dk - k_n \int_0^1 k \gamma \sec \varphi dk + k_n \int_{k_n}^1 \gamma \sec \varphi dk - \frac{\alpha c^2}{4} \int_0^{k_n} \sin \varphi dk \pm \frac{1}{2} A_e E \alpha^2 \epsilon t^o}{2 \left[\int_0^{\frac{1}{2}} \gamma^2 \sec \varphi dk + \frac{\alpha c^2}{4} \int_0^{\frac{1}{2}} \cos \varphi dk \right]} \quad \dots \dots \dots \quad (k')$$

(k') 式の各項は拱助高が一定である鉄筋助の場合と同一であるから積分法に依りて其の値を求める事が出来る。

(a) Parabola

$$\text{分子} = \frac{2048m^4 + 64m^2 + 1}{4096m^2} \left[\sqrt{16m^2 + 1} + \frac{1}{4m} \log \left(\sqrt{16m^2 + 1} + 4m \right) \right] - \frac{128m^2 + 3}{6144m^2} \sqrt{(16m^2 + 1)^3} + \frac{\alpha c^2}{4} \times \frac{1}{4m} \log \left(\sqrt{16m^2 + 1} + 4m \right) \quad \dots \dots \dots \quad (l)$$

$$\text{分子} = \frac{64m^2 + 1}{2048m^2} \left[4m\sqrt{16m^2 + 1} - k_n \log \left(\frac{1}{4m}\sqrt{16m^2 + 1} - 1 \right) + (1-k_n) \log \left(\frac{1}{4m}\sqrt{16m^2 + 1} + 1 \right) - 4m(1-2k_n)^2 \sqrt{16m^2(1-2k_n)^2 + 1} - (1-2k_n) \log \left\{ \frac{1}{4m} \sqrt{16m^2(1-2k_n)^2 + 1} + (1-2k_n) \right\} \right] - \frac{46m^2 + 1}{7680m^2} \left[\sqrt{(16m^2 + 1)^3} - \sqrt{(16m^2(1-2k_n)^2 + 1)^3} \right] - \frac{k_n(1-k_n)}{320m} \sqrt{(16m^2(1-2k_n)^2 + 1)^3} - \frac{\alpha c^2}{4} \times \frac{1}{8m} \left[\sqrt{16m^2 + 1} - \sqrt{16m^2(1-2k_n)^2 + 1} \right] \quad \dots \dots \dots \quad (m')$$

(b) Circle

$$\text{分子} = \left[2n(m')^2 + n^2 \right] \sin^{-1} \frac{1}{2n} + 2m'n + \frac{n}{2} \sqrt{n^2 - \frac{1}{4}} + \frac{\alpha c^2}{4} \times \frac{1}{n} \left[\frac{1}{2} \sqrt{n^2 + \frac{1}{4}} + n^2 \times \sin^{-1} \frac{1}{2n} \right] \quad (n')$$

$$\text{分子} = m'n \sqrt{n^2 - \frac{1}{4}} + \frac{m'n}{2} \times \sin^{-1} \frac{1}{2n} - m'n \sqrt{n^2 - \left(\frac{1}{2} - k_n \right)^2} - m'n \left(\frac{1}{2} - k_n \right) \sin^{-1} \frac{\left(\frac{1}{2} - k_n \right)}{n} + \frac{n}{2} k_n (1 - k_n) - \frac{\alpha c^2}{4} \times \frac{1}{2n} k_n (1 - k_n) \quad \dots \dots \dots \quad (o')$$

5. 鉄筋コンクリート拱助

鉄筋コンクリート拱助に於ては $A=Bcld \times \mu_1$, $I=Bc^3 l^3 \times \mu_2$ であるから鉄筋助の場合の腹筋厚 t_w の代りに鉄筋コンクリート拱助の幅 B が用ひられて居る點が異なる所である。故に此の場合の H 式の形は全く鉄筋助に對するものと同一であり、只溫度応力に於て $Etwet^o l$ の代りに $EBet^o l$ と書き改むればよいのである。尤も μ_1 , μ_2 , θ_1

及 θ_1 の値は次の如くに取るのを適當と認める。

$$\mu_1 = 1.12 \sim 1.13, \quad \mu_2 = 0.103 \sim 0.104, \quad \theta_1 = \beta \frac{E}{G} = 3.1 \sim 3.2, \quad \theta_2 = \beta \frac{E}{G} - 1 = 2.1 \sim 2.2$$

6. H の影響線

5に於て求めた各種肋拱の水平反力 H の値は 1 なる荷重が拱の任意點 n に作用せる時の値を示すものであるから、夫が其の儘 H の影響線の縦距を表はす。拱肋の任意横断面に生ずる応力 M , N 及 T を求むる爲には先づ H の値を求むる事が必要であるが、其の計算が相當面倒であるから若し出来るならば恰も連續桁に對し曲げモーメントや剪断力の影響線を豫め作つて置くと同様に H の影響線を豫め用意して置きたいと云ふ事は何人も希望する所であると思ふ。此の目的に對しては径間 l , 拱矢 j , 拱肋高 D , 横距 x , 縦距 y 等の實際の値を用ひる事は不可であつて、全部 l を単位とした夫等の値即ち $j/l = m$, $D/l = \alpha$, $x/l = k$, $y/l = \gamma$ を用ひる事とし是に依りて m 及 α を同じくする拱に對しては H の値が共通する事となり從つて豫め作られた H の影響線が廣く利用せらるゝ事になる。

7. 任意横断面の応力影響線

拱肋の任意横断面の応力 M , N 及 T の値は 5 の (g_1) , (g_2) 及 (g_3) の各式に依りて求められ、是等はすべて m , γ で表はされて居るから種々なる拱に對し豫め用意する事が出来る。

8. H に対する軸圧力及剪断力の影響

5に示した通り H の式の分母に於ては N 及 T の影響は共に (+) であるから是等を省略すれば分母は小となり H は大となるべきである。又分子にありては N は (-), T は (+) であるから N は H を小ならしむる様に、 T は H を大ならしむる様に影響する。是等兩者を合したもののは

$$\left(\beta \frac{E}{G} - 1 \right) \int_0^{k_n} \frac{\sin \varphi \, dk}{A}$$

であり $\beta \frac{E}{G}$ の値は鉄筋拱では大体 6.5~7.5 の程度であるから全体としては (+) の影響となる。從つて H 全体から見れば N と T を考慮する事に依り分母も分子も共に増加する。夫故に N と T を省略せる場合に比し H に如何なる程度の増減を來すかに就ては拱の形狀其の他の諸條件に依りて支配せられるから實地に數値をあてはめて見なければ不明瞭である。然しいづれにしても N と T の影響を省いては H は不正確となる。

9. 結 言

此の報告の概要に掲げた目的を達成するには種々なる m 及 α の値を持つ肋拱に對し水平反力 H , 任意横断面に生ずる M , N 及 T の影響線を豫め作成する必要がある。夫には 3 に示した拱肋横断面積及其の 2 次率, 4 に述べた剪断力に對する係數の定め方が基礎となつて居り、是等は理論よりも寧ろ實地に重きを置くべきであるから此の研究だけで正當であり充分であるとは考へられない。

今 $j/l = m$ の値を 0.10, 0.15, 0.20, 0.25, 0.30 等とし拱頂に於ける肋の高さ $D_0 = \alpha_0 l$ の α_0 の値を 0.024, 0.025, 0.026, 0.027, 0.028 等として拱肋高が均一なる肋拱に對する各種の影響線を定めたとしたならば是等の中間の m

及 α_c の値を持つ拱肋に對しては補插法に依りて相當正確に各種影響線の値を求める事が出来る。又拱肋の高さが僅かに変化する場合に就ては拱頂に於ける肋高 $D_c = \alpha_c l$ 及拱端の肋高 $D_s = \alpha_s l$ を與へて此の研究に示した如く拱の内面曲線及外面曲線が拱軸曲線と同一種類の曲線であると假定する事に依り拱の任意點に於ける肋高 $D = \alpha l$ を計算に依りて求める事が出来、夫から基本式 (j) を用ひて H の値を定める事が出来る。此の場合に α_s は大体 $0.5\alpha_c \sim 0.8\alpha_c$ の程度が普通であると考へられるから α_c に對する α_s の比を此の範囲に取り種々なる m の値に就きて H の影響線を求めたとしたならば是又相當廣く實用に供し得るものと思ふ。

著者は前述の方法に従つて既に數多の拱の各種の影響線の實際の値を計算して居るから来るべき機會に夫を發表する用意を有する。

一土圧公式と其の図式解法

(昭和 13 年 7 月 16 日 土木學會第 2 回年次學術講演會に於て)

會員 工学博士 安藏善之輔*

要旨 次に掲げる土圧公式とは Rankine や Boussinesq の公式に手を加へ、以て夫等の持つ理論的缺點を少くさせると共に公式の適用範囲を擴めたやうなもので、又其の図式解法は公式の計算の勞を省く爲に考へられたものである。

1. 緒 言

土圧公式としては所謂 Coulomb 及 Rankine の兩公式が代表的なものである事は今更言を俟たない。夫々図式解法も立派に出來て居る。是等兩式は長所と共に短所を持つて居る。兩方の長所を取り入れやうと試みたものには Boussinesq を初めとし Reissner, Kármán 等の人々がある。然し其の理論は主に主働土圧のみを對象とし、微分方程式の解をやかましく論議する爲、理論が複雑化する割には結果は餘り在來の公式のものと大差がなかつた。加之 Boussinesq 以外は公式の形に纏める事が出來なかつた爲、簡単を喜ぶ實際方面には現在でも Coulomb や Rankine の公式が専ら用ひられて居る次第である。又受働圧に關する理論は誠に渺く Rankine や Coulomb の兩公式でも其の結果は區々なるのみならず、平面近面の假定に立脚して居る爲、曲りの著しい近面が生じ易い受働圧の場合には其の適用範囲は自ら限定される。そこで

- (1) Rankine 理論に壁面の粗度の影響を加味させ、Rankine, Coulomb 兩理論の長所を取り入れる事
- (2) 主働圧のみならず受働圧をも合理的に求め得る事
- (3) 簡單な公式に纏める事、若し公式の計算が面倒ならば図式解法を用ひ得られる事

以上 3 目的に副ふやうな理論が出來ればよいのだが、之は仲々容易な事ではない。Boussinesq 理論は大体 (1) 及 (3) を満足して居る(図式解法に就ては後述せん)。

筆者は曩に (1) 及 (2) の目的を先づ達せんと努め一土圧理論を發表した。** 其の理論は $4n$ 個の聯立條件方程式を解く事になり、 n が大なれば大なる程精度の高い結果が得られるのである。 $n=1$ とすれば全く Boussinesq 公

* 九州帝國大學教授

** 揣著“粉体及粒体の圧力”九大工學部紀要第 7 冊第 2 號